

슬롯출구 상류면의 상승과 하강에 따른 막냉각 특성

노석만*· 손창호**· 이근식**

Film Cooling Characteristics with Sunk or Lifted Upstream Wall

Suk Man Rho, Chang Ho Son and Geun Sik Lee

Key Words: Film Cooling (막냉각), Slot (슬롯), Sunk or Lifted Upstream Wall (하강 또는 상승 하류면), Film Cooling Effectiveness (막냉각 효율)

Abstract

Film cooling characteristics has been investigated numerically with the aid of FLUENT software for the sunk or the lifted upstream wall from the slot injection exit. In this study, with the fixed blowing ratio of 1 and the fixed coolant injection angle of 30° , the downstream flow field and the downstream temperature field were examined in terms of velocity vector, turbulent kinetic energy, temperature contours, and downstream wall temperature. Upstream wall was sunk or lifted from $1d$ to $5d$ (d =slot width). The result shows that the up- $1d$ upstream wall has the best film cooling performance. This is due to the fact that the up- $1d$ upstream wall configuration reduces velocity gradient just enough to minimize the turbulent mixing between the mainstream and the coolant just off the slot exit.

1. 서 론

가스터빈엔진의 효율 및 출력의 향상을 위해 터빈입구온도를 높이게 된다. 그러나 높은 온도에 견딜 수 있는 재료 개발의 한계성 때문에 연소실이나 터빈 깃의 냉각기술이 필요하다. 이러한 냉각기술 중에서 막냉각은 고온요소의 표면에 비교적 저온의 유체를 분사하여 고온의 연소가스와 고체표면 사이에 일종의 단열막을 만들어 보호하는 방법이다. 기본적인 막냉각에 대한 유동 및 열전달 특성에 대한 일반적인 고찰은 Goldstein⁽¹⁾에 의해, 최근의 동향은 조형희⁽²⁾에 의해 잘 정리되어 있다.

막냉각의 성능에 영향을 주는 인자는 여러 가

지(자유흐름 레이놀즈수, 자유흐름 난류강도, 깃의 형상, 냉각제 분사구 형상⁽¹⁻³⁾, 블레이드 부하, 분사비와 분사각도⁽⁴⁾, 주류흐름의 온도에 대한 냉각제의 온도를 포함하는 요소)가 있으나, 본 연구에서는 분사비와 분사각을 일정하게 하고 냉각제 출구 상류면의 상승과 하강에 따른 막냉각의 성능 조사에 초점을 두었다.

막냉각의 개략적인 유동모델이 Fig. 1에 제시되어 있다. 냉각제 통로는 주류 방향과 분사각이 30° 로 일정하게 유지하도록 하였고, 슬롯은 슬롯길이의 영향이 배제되도록 길게 하였다. 슬롯 출구의 상하류 벽면을 단열로 가정하였으며, 분사비 (Blowing ratio, BR)는 1로 하고 상류면의 형상 변화에 따른 하류의 유동장과 온도장을 조사한다.

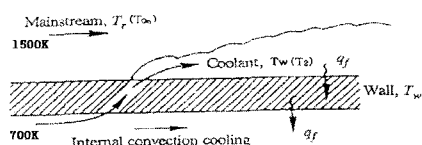


Fig.1 Typical model for film cooling.

* 울산대학교 대학원 기계공학과

** 울산대학교 기계자동차공학부

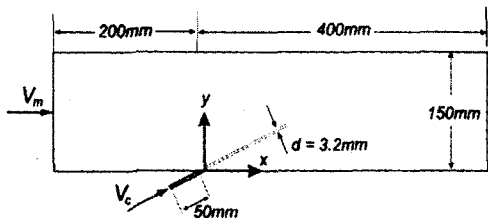


Fig. 2 Geometry and grid for the main-stream and coolant flow. (Origin is attached to the downstream side of the slot exit.)

이를 위해 속도 벡터, 난류운동에너지, 주유동과 냉각제유동의 온도분포, 하류벽면온도 분포를 상용 전산열유동해석 소프트웨어인 FLUENT를 이용하여 구한다.

2. 수치해석 및 방법

주유동에 대한 슬롯분사의 형상과 해석 대상 모델의 재원을 Fig. 2에 나타내었다. 좌표는 분사슬롯출구의 오른쪽 모서리를 원점으로 하고 하류방향을 X-축, 높이 방향을 Y-축으로 설정하였으며, 격자는 슬롯출구주위로 밀집시켰다. 격자분포는 160×70 이고 위와 아래의 격자 분포는 위가 1.1 아래가 1.1의 분포를 가지며 수평으로의 간격은 0.97의 비를 가지고 형성하였다. 분사 슬롯의 격자분포는 25×25 로 하였다.

유동장과 온도장의 해석을 위해 연속, 운동량, 에너지 방정식을 사용하고 난류해석을 위해 k- ϵ 모델을 수정한 실현가능 k- ϵ 모델(Realizable k- ϵ model)⁽⁵⁾을 사용하였다. 이 모형은 제트 유동의 퍼지는 정도를 일반적인 k- ϵ 모델보다 더 정확히 예측할 수 있는 것으로 알려져 있으며 슬롯에서 주류를 향해 분출하는 막냉각 유동이 제트 유동화 유사한 점에서 선택되었다. 벽 주위의 난류처리는 두 유동의 혼합이 벽 가까이에서 이루어지는 점을 고려하여 점성의 영향을 받는 벽근처 영역에 Wolfstein⁽⁶⁾의 1방정식 모형을 사용하는 2단 모형(Two-layer zonal model)를 사용하였다.

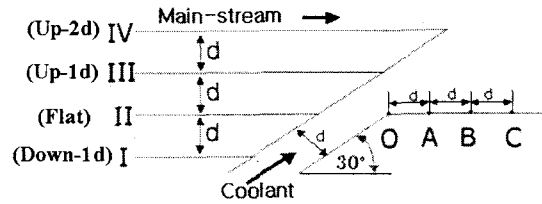


Fig. 3 Wall geometry

해석은 Gambit으로 형상과 격자를 생성한 후 경계조건을 주고 FLUENT-5에서 유동장과 온도장의 결과를 구하였다. 모든 계산과정에서 주유동과 슬롯분사 속도는 2 m/s로 일정하게 유지하였다. 유동경계 조건은 고체 표면에서 유체의 속도는 0인 점착조건을 사용하였으며, 온도 경계조건은 주류의 입구온도는 1500K, 슬롯의 냉각제 입구온도는 700K로 하였다.

막냉각 특성을 나타내는 막냉각효율(Film cooling effectiveness) η 은, 0과 1 사이의 값을 가지며 무차원 단열벽면온도를 나타내는 변수이다.

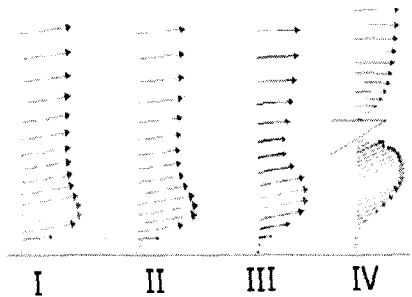
$$\eta = \frac{T_{\infty} - T_{aw}}{T_{\infty} - T_2} \quad (1)$$

위의 식에서 T_{∞} 는 1500K의 뜨거운 주류의 정온도(static temperature)이며, T_2 는 냉각제의 정온도이고, T_{aw} 는 단열벽면온도(adiabatic wall temperature)이다.

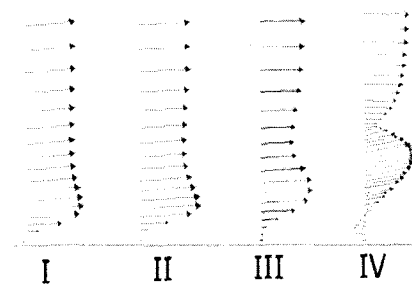
3. 결과 및 토의

Fig. 3은 대표적으로 분사각도 30°일 때 상류면의 형상변화를 제시하고 있다. II면은 평평면을, I면은 1d-하강면을, III면은 1d-상승면을, IV면은 2d-상승면을 각각 표시한다. 슬롯출구 직후 모서리진 하류면 O점을 기점으로 1d, 2d, 3d 떨어진 지점을 각각 A, B, C 점이라 하고 이 점에서 속도벡터를 Fig. 4에 도시하였다.

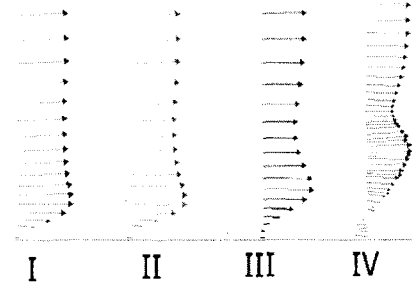
제트 출구 상류로부터 하류방향으로 흘러오던 주류는 분사슬롯 출구 바로 상류 영역으로부터 제트류에 의해 윗쪽으로 이동하면서 가속된다. 한편 분사슬롯을 빠져나온 공기는 주류와 상호작용함으로써 두 유동은 활발하게 혼합된다. 모든



(a). A - point



(b). B - point



(c). C - point

Fig. 4 Velocity vectors for various upstream wall geometries

경우 하류로 갈수록 제트유동의 특성이 점차 사라지고 경계층 유동으로 되돌아가게 되나, III면과 IV면은 상승된 상류면이 냉각체를 계속 안내 할 뿐 아니라 주류와의 혼합을 늦추어 주기 때문에 I면과 II면에 비해 더 먼 하류영역까지 제트유동의 특성을 유지함을 보여주고 있다.

1d-상승면(III면)의 경우, 벽면 가까운 곳의 속도구배가 작고 역류의 발생이 거의 없으므로 다

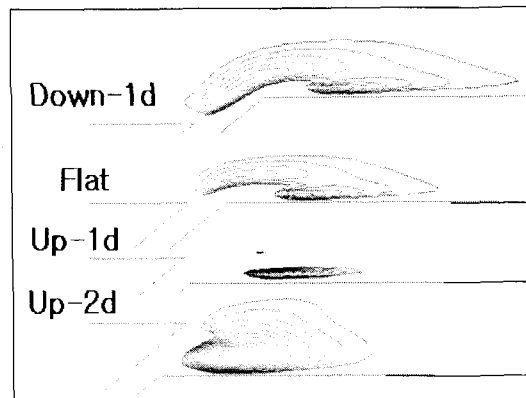


Fig. 5 Turbulent kinetic energy region more than $0.9 \text{ m}^2/\text{s}^2$ for various upstream wall geometries (Blowing ratio=1.0)

른 면에 비해 제트류가 하류 멀리까지 지속함을 예측할 수 있다.

큰 난류운동에너지 영역(편의상 $0.9 \text{ m}^2/\text{s}^2$ 보다 큰 영역)은 Fig. 5에 제시되어 있다. 전체적으로, 주류와 분사제트가 처음으로 만나게 되어 이끌림(entrainment)효과가 발생하는 슬롯출구 상류부분, 가장 낮은 정압이 발생하는 슬롯출구의 하류 쪽 모서리진 지점과 가까운 곳으로 역압력구배가 걸리는 하류 벽면근처를 포함한 영역이 강한 난류혼합이 발생하는 부분임을 알 수 있다. 1d-상승면의 경우에 큰 난류운동에너지 영역이 가장 좁아서 난류혼합이 가장 적게 일어남을 알 수 있다.

이러한 1d-상승면의 유동의 특성 때문에 온도장에서 등온선의 분포는 Fig. 6에서 보듯이 1d-상승면이 가장 성층화된 경향을 보여주고 있다. 대표적으로 등온선 900K의 영역을 비교할 때 1d-상승면이 가장 길다.

앞에서 설명한 온도장과 유동장의 특성으로 인하여 Fig. 7에 제시된 하류벽면의 온도분포에서 살필 수 있듯이, 평평면이나 1d-하강면에 비하여 1d-상승면이 냉각거리가 가장 길다는 사실을 알 수 있다.

Fig. 8에서는 상류면을 1d-상승면을 기준으로 여러 높이로 상승시켰을 때 온도장을 조사하기 위하여 대표적으로 900K의 등온선을 비교하여 제시하였다. 1d-상승면이 평평면이나 다른 높이

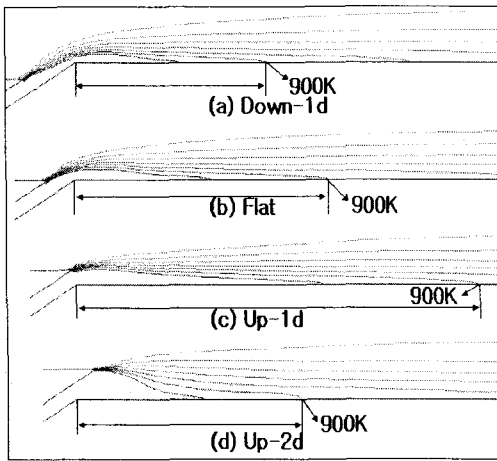


Fig. 6 Static temperature when $BR=1$

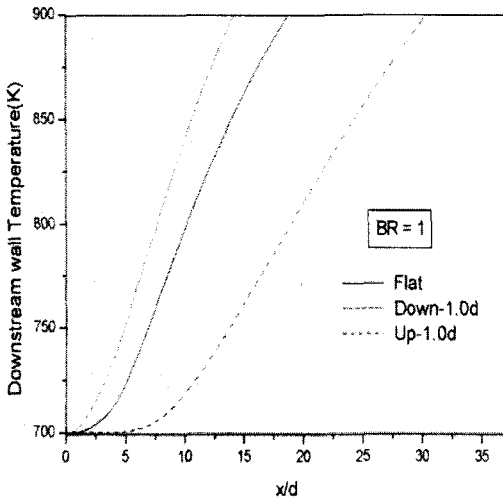


Fig. 7 Downstream wall temperature distribution for various upstream wall geometry ($V_m=2m/s$).

의 상승면 보다 훨씬 더 길고 넓은 영역을 점하고 있어 막냉각 효과가 가장 큼을 예상할 수 있다.

이는 Fig. 9의 막냉각 효율을 그래프에서 확인할 수 있다. 이 이유는 다음으로 설명할 수 있다. 상류면을 점점 높이게 되면, 하류면에 역압력구배가 발생하기 시작하여 벽근처의 속도구배가 점점 작아지다가 결국은 역류가 발생하여 재순환영역이 생기게 된다.

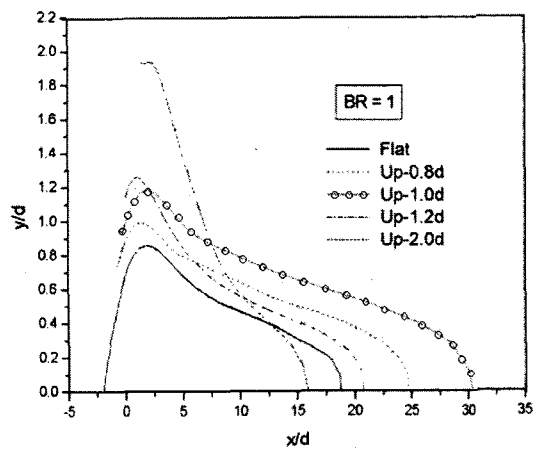


Fig. 8 Temperature contours of 900K for various upstream walls at $BR=1.0$

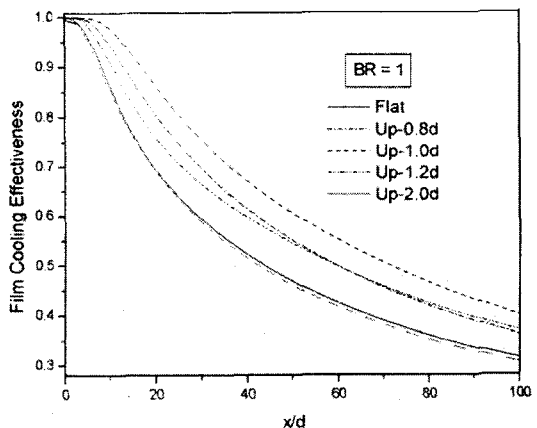


Fig. 9 Film cooling effectiveness as a function of downstream distance, when the blowing ratio is 1 and injection angle is 30°

그러나 상류면을 너무 높이게 되면, 주류는 계단모양의 유통특성과 유사하게 하류 직후에 역류가 발생하고 큰 역압력구배를 가지는 재순환영역을 가지게 된다. 분사제트의 벽면근처 운동량이 충분하지 못하면 위의 재순환영역 때문에 분사제트가 멀리가지 못하므로 막냉각 성능이 감소하게 된다. 따라서 역류가 발생하지 않으면서 벽면 근처의 속도구배를 최소화하는 상승면의 높이가 존재함을 예상할 수 있다. 즉, 역류가 발생하기 직

전까지 상류면을 높인다면 속도구배는 가장 작은 상태가 되며 난류운동에너지의 생성이 작아지므로 난류로 인한 주류와 냉각제의 혼합이 최소화 된다. 따라서 $0.8d$ -상승면이나 $1.2d$ -상승면에 비해, $1d$ -상승면에서는 위의 물리적인 이유로 난류 혼합이 최소화되며, 그 결과 온도를 성층화하게 된다.

4. 결론

슬롯분사 막냉각에서 주류속도를 2 m/s , 분사 비를 1로 하고 분사각을 30° 로 일정하게 유지하였을 때, 상류면의 형상변화가 막냉각 유동 및 열전달에 미치는 영향을 조사하기 위하여 수치해석 방법을 이용하였다. 상류면이 상승 또는 하강 함에 따라, (슬롯출구에서 속도분포, 슬롯출구에 가까운 하류에서 벽면근처 속도분포, 슬롯출구의 하류측에서의 가장 낮은 정암을 포함하는 역압력 구배 분포, 슬롯출구 상류측에서의 큰 이끌림(entrainment)효과가 달라짐으로 인해 강한 난류혼합이 발생하는 영역의 크기와 위치가 바뀌게 되므로), 막냉각 성능이 달라짐을 알 수 있었다. 이로부터 다음의 결론이 도출되었다.

- (1) 분사출구 상류면을 평평면에서 슬롯폭($1d$) 만큼 상승 또는 하강시켰을 때, 상류하강면은 평평면보다 막냉각 성능이 떨어지며, 상류상승면은 평평면보다 막냉각 성능이 높다.
- (2) 상류면을 $1d$ -상승면을 기준으로 여러 높이 ($0.5d$ - $2d$)로 상승시켰을 때, 막냉각 효율을 최대로 하는 상류면은 $1d$ -상승면이다.
- (3) 분사비와 분사각도를 달리하면 막냉각 효율을 최대로 하는 상류면의 높이는 달라질 수 있다.

참고문헌

- (1) R. J. Goldstein, 1971, "Film cooling", Advances in Heat Transfer, pp. 321-379.
- (2) 조형희, 2000, "막냉각에서 유동 및 열전달 특성", 대한기계학회 2000년도 유체공학부문 학술강연회 강연집, pp. 61-79.
- (3) H-W. Lee, J. J. Park, and J. S. Lee, 2000, "Flow visualization and film

cooling effectiveness measurement around shaped holes with compound angle", Recent Advances in Transport Phenomena(12th ISTP), Elsevier, pp. 45-50.

- (4) 손창호, 이근식, 원영호, 노석만, 이종천, 2001, "2차원 막냉각의 적정분사비와 분사각도의 조합에 관한 연구", 2001년도 대한기계학회 춘계학술대회(01s490).
- (5) T.-H. Shih, W. W. Liou, A. Shabbir, and J. Zhu, 1995, "A New $k-\epsilon$ Eddy-Viscosity Model for High Reynolds Number Turbulent Flows - Model Development and Validation, Computers Fluids" Vol.24, No.3, pp. 227-238.
- (6) M. Wolfstein, 1969, "The Velocity and Temperature Distribution of One-Dimensional Flow with Turbulence Augmentation and Pressure Gradient" Int. J. Heat Mass Transfer, Vol.12, pp. 301-318.